

参 考 文 献

- [1] Lindahl, U.: *Ann. Rev. Biochem.*, **47**, 385, 1978.
- [2] Michaelis, L. et al.: *J. Am. Chem. Soc.*, **67**, 1212, 1945.
- [3] Wollin, A., et al.: *Thromb. Res.*, **2**, 377, 1973.
- [4] Jaques, L. B.: *Can. J. Physiol. Pharmacol.*, **45**, 87, 1967.
- [5] Stone, A.: *Methods in Carbohydrate Chemistry* (Whistler, R. L. ed.), **7**, 120, Acad. Press, New York, 1976.
- [6] Grant, A. C.: *Anal. Biochem.*, **137**, 25, 1984.
- [7] Jaques, L. B.: *Polyelectrolytes and Their Applications* (Rembaum, A. et al. ed.), 145, Reidel Pub. Co. Dordrecht Holland, 1975.
- [8] Stone, A.: *Biochem. Biophys. Acta*, **148**, 193, 1967.
- [9] Rabinowitch, E. et al.: *J. Am. Chem. Soc.*, **63**, 69, 1941.
- [10] 孟怡等:《国外医学药学分册》**8**, 129, 1981.
- [11] Roden, L. et al.: *Methods in Enzymology*, (Ginsburg, V. ed.) **28**, 73, Acad. Press, New York, 1972.
- [12] Casu, B.: *Pharmacol. Res. Commun.*, **11**, 1, 1979.

〔本文于1984年2月19日收到〕

神经元空间性总和随机过程的理论分析*

曹 扬**

(蚌埠医学院,安徽)

神经元网络中的信息处理主要表现为输入一输出频率的转换,但分析膜电位变化在频率转换过程中的作用却非常困难。频率转换具有非线性关系,而且神经元往往同时接受多个来源的突触输入,其输入频率可以相互独立,相应的突触后电位(PSP)产生随机迭加。用统计学方法描述输入一输出频率转换能反映这种多突触输入来源的特点,也避开了直接处理膜电位的非线性问题。其次,由于实验技术上的限制使资料往往不够完全,实验结果本身也有一定的不确定性,这使得利用实验资料进行精确的定量分析难以实现。在这种情况下,应用理论模型分析是有益的。

神经元的动作电位输出由阈下PSP迭加而引起。中枢神经系统中,PSP频率多在40次/秒以下^[1]。PSP的有效作用时间小于25ms(常为5—15 ms)^[2],则单个输入来源的PSP串迭加(时间性总和)实际不会发生,PSP就象一个个“量子事件”。根据这一观点,即可建立神经元空间性总和的统计学理论模型。本文旨在建立神经元多突触输入与输出频率之间关系的统计学模型,讨论统计学模型理论与树突神经元

模型对不同位置的突触瞬态反应^[3-5]的关系,以及与高级神经功能有关的生理学意义。

统计学理论模型

基本假设是不同来源输入的频率 f_{in} 相互独立^[6]。其次,与信号周期相比,PSP持续时间极短,因此可视为瞬时过程。另外,各来源输入的频率相对恒定。各输入突触取相同电学长度,即从突触部位到胞体的电紧张距离一样。因此,PSP到达胞体的时间和波形相同。

在时间 T 内,如果某一输入来源的 PSP 出现一次,则 $T = \frac{1}{f_{in}}$ 。令 PSP 的有效持续时间为 t_0 ,此 PSP 在时间 T 内出现的几率为 $\frac{t_0}{T} = t_0 f_{in}$ 。令输入通道为 n ,在所有输入频率均为 f_{in} 的情况下,PSPs 在 T 内出现的几率为 m ,并且

$$m = n t_0 f_{in} \quad (1)$$

此时,各来源输入的 PSP 发生迭加的几率分布

* 曾在第四届全国生物物理学学术会议上提出。

** 现在地址:中山医学院生理学教研室,广州。

服从 Poisson 过程。如果 PSP 叠加数为 k , 其几率为

$$P(k) = e^{-m} \frac{m^k}{k!} \quad (k = 1, 2, \dots) \quad (2)$$

m 值由(1)式决定。取 $t_0 = 2.5\text{ms}$, $n = 20$, f_{in} 变化范围在 0—200 次/秒, m 值为 0—10。

到达胞体的 PSP 一般不过几毫伏, 叠加的 PSPs 可使膜电位去极化达到或超过动作电位产生阈值。取单个 PSP 振幅为 3mV, 如果神经元产生动作电位需使膜去极化达 10 mV 以上, PSP 的叠加数必须大于 3 (考虑叠加是线性的并且均为兴奋性 PSP), 则 $k \geq 4$ 。 $P(k \geq 4)$ 在各输入频率均相等时可求得:

$$P(k \geq 4) = \sum_{k=4}^n e^{-m} \frac{m^k}{k!} = 1 - \sum_{k=0}^3 e^{-m} \frac{m^k}{k!} \quad (3)$$

因为 $P(k \geq 4)$ 是指在 t_0 时刻等于或大于 4 个 PSP 叠加产生动作电位的几率, 在时间 T 内出现此种叠加的几率为 $\frac{T}{t_0} P(k \geq 4)$ 。动作电位代表神经元的输出, 输出频率 f_{out} 与动作电位产生的几率成正比, 为在 T 内几率 $\frac{T}{t_0} P(k \geq 4)$ 的个数, 即

$$f_{out} = \frac{\frac{T}{t_0} P(k \geq 4)}{T} = \frac{1}{t_0} P(k \geq 4) \text{ sec}^{-1} \quad (4)$$

将(1)和(3)代入(4)式, 得出输入频率 f_{in} 和输出频率 f_{out} 的函数关系:

$$f_{out} = t_0^{-1} - \sum_{k=0}^3 t_0^{k-1} \frac{(nf_{in})^k}{k!} \exp(-nt_0 f_{in}) \quad (5)$$

结果与分析

根据(5)式, 取 $t_0 = 2.5\text{ms}$, $n = 20$, 可得 f_{out} 和 f_{in} 的关系曲线 (图 1)。在 f_{in} 较低的情况下, f_{out} 近似地随 f_{in} 呈指数增加 (虚线为抛物线比较)。随着 f_{in} 增大, f_{out} 逐渐呈近似直线关系。这种现象曾被 Jenik 等观察到^[6,7], 并用输入一输出频率的函数关系表示。在输入“强度”较小时, 输出频率与两个兴奋性输入来源的频率的乘积成正比, 即

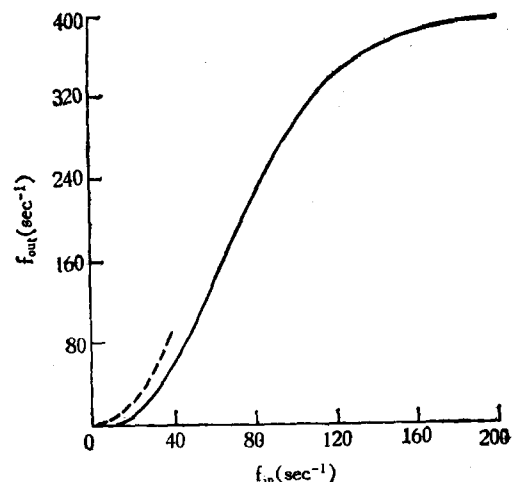


图 1 输入—输出频率关系图
此图根据计算机计算后散点图绘出

$$f_{out} = k f_{in_1} f_{in_2} \quad (6)$$

如果 $f_{in_1} = f_{in_2}$, 那么有

$$f_{out} = k (f_{in})^2 \quad (7)$$

为抛物线方程。在输入“强度”较大时, f_{out} 与两个输入频率之和成正比, 即

$$f_{out} = k_1 f_{in_1} + k_2 f_{in_2} \quad (8)$$

同样可以写出输入频率相等的方程:

$$f_{out} = (k_1 + k_2) f_{in} \quad (9)$$

此为直线方程。解释 Jenik 等的观察与统计学模型联系的关键在于如何理解输入“强度”问题。根据“全或无”定律, 阈上电震刺激单根纤维不会因刺激强度变化而影响 PSP 波形; 决定输入“强度”的, 只有输入来源的数目和输入频率 f_{in} 。从(5)式可看出, n 和 f_{in} 以相同方式影响输出, 因此, 在数学上尽管统计学理论与 Jenik 方程不同, 两者在表示输入—输出关系的意义上是等效的。

f_{in} 进一步增大使 PSP 叠加数目增加, 此时, $P(k \geq 4)$ 趋向于 1, f_{out} 增量逐渐变小, 最终成为一定值 (相当于输出频率达到最大值)。其生理学解释如下。当神经元突触输入的 PSP 在每一时刻叠加都达到阈上水平时, 由于膜兴奋性的绝对不应期, 动作电位发生的频率将有一上限, 致使进一步增加输入通道数或输入频率均不能明显地增加输出频率。

输入通道数在解剖结构上较为恒定。 n 较小时, 相当于有部分突触没有信息输入, 输入一输出处于非线性的初始部分; 在 n 较大时, 多个突触接受输入, 未发生改变的 f_{inj} 已使输入一输出曲线处于直线部分。图 2 显示不同 n 值时输入一输出曲线的变化。

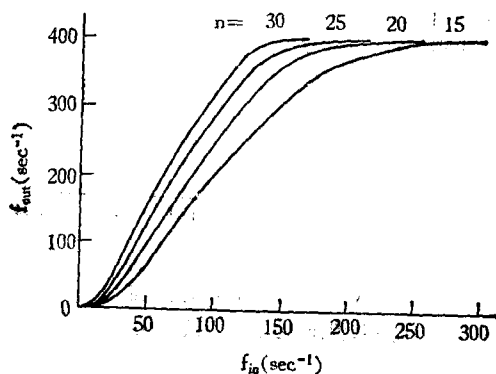


图 2 输入通道数(n)变化时输出频率的影响

$$n = 20$$

如果某一输入通道 i 的输入频率 f_{inj} 变为零, 原来的 m 值变小, 新 m' 值满足下列关系:

$$m' = \frac{n-1}{n} m \quad (10)$$

对 $n = 20$, 只要 f_{inj} 不变, 输入通道数为 $n-1=19$, f_{out} 变化不大。当 f_{inj} 增加时, 来自通道 i 的 PSP 与其他 PSPs 叠加的几率也增加。叠加几率是这些 PSPs 在相同时刻出现的几率, 等于两者独自出现的几率的乘积。这种叠加对 $P(k \geq 4)$ 没有影响, 而几率 $\frac{f_{inj}}{f_{inj}} P(k=3)$ 使原 PSPs 叠加数为 3 的几率 $P(k=3)$ 达到 4 个。这样, 由于 f_{inj} 输入, PSPs 叠加数 ≥ 4 的几率成为

$$P(k \geq 4) = P'(k \geq 4) + \frac{f_{inj}}{f_{inj}} P'(k=3) \quad (11)$$

$P(k \geq 4)$ 表示通道 i 输入后 PSPs 叠加数 ≥ 4 的几率。 $P'(k=3)$ 和 $P'(k \geq 4)$ 均为 m' 情况下的几率。当 $f_{inj} \neq 0$ 时, (11) 式成为

$$P(k \geq 4) = P(m', k \geq 4) \quad (11a)$$

在 f_{inj} 不变的情况下, 增加 f_{inj} 使输出频率呈线性增加, 图 3 给出不同 f_{inj} 时, f_{inj} 变化与 f_{out} 的关系。随着 f_{inj} 的减小, f_{inj} 和 f_{out} 关系的

斜率也变小, 这意味着, 如果 f_{inj} 过低, 增加 f_{inj} 不能使 f_{out} 很快提高而达到某一定值 (例如图 3 中虚线标出的 f_{out} 值)。Granit 等曾发现^[8], 猫运动神经元的放电频率与胞内注射电流引起的去极化呈线性关系, 后者相当于兴奋性输入。在背景突触兴奋性增加 (相当于 f_{inj} 增加) 时, 此线性关系水平升高, 斜率也发生改变^[8,9]。

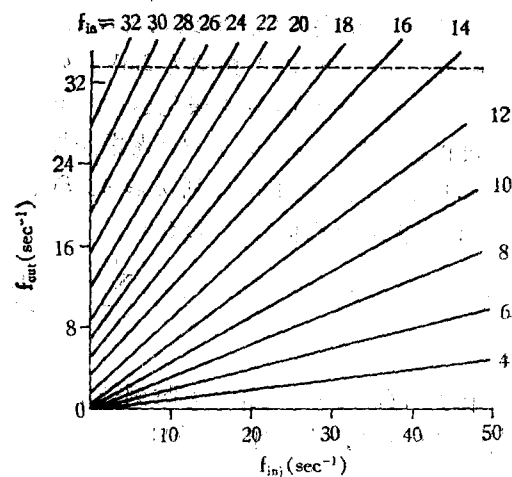


图 3 不同 f_{in} 背景上 f_{out} 与 f_{inj} 的关系

当 $n-1$ 个输入通道的频率为 f_{inj} , 且互相独立时, 输入通道 i 的频率 f_{inj} 发生改变, 使 f_{out} 有相应线性变化。随 f_{inj} 增加, i , f_{out} 与 f_{inj} 关系的斜率变大, i , $f_{inj}=0$ 时的 f_{out} 频率增高。如 $f_{inj}=34\text{ sec}^{-1}$, 则 $f_{inj}=0$ 时, f_{out} 大致等于 f_{inj} , 如虚线所示。

f_{out} 在多种输入条件下可保持恒定。如图 3 所示, 虚线标出的 f_{out} 值, 在各种 f_{in} 背景上改变 f_{inj} 值都能达到 (f_{inj} 过低或已使 f_{out} 超过此值时例外)。如果有两个输入通道的输入频率 f_{inj} 和 f_{inj} 变化而不同于 f_{inj} , 当 f_{inj} 和 f_{inj} 均为零时 (例如 $n'=18$), f_{out} 降低并不显著, 但 f_{inj} 和/或 f_{inj} 的增加均使 f_{out} 呈线性增加并服从前述关系, 同样也可使 f_{out} 在各种 f_{in} 背景上达到某一恒定值。原则上, 多个输入频率的不同变化能导致同样的输出频率。这种恒定性质具有重要的生理学意义, 意味着神经元能将具有“抽象”特征的输出频率从各种变化的输入频率中“提取”出来。

讨 论

神经元突触输入的实际定位和突触效能

(efficiency)千变万化,前述各突触等电紧张距离和效能是理想的情况。不同突触位置与 PSP 电紧张传递至胞体处的振幅和持续时间影响的研究已有较多报道^[1,2,4,10,11],有助于理解真实情况下突触输入与神经元输出频率的关系。

1. PSP 波形对迭加几率和输出频率的影响

胞体处 PSP 波形(振幅和有效作用时间)随突触在胞体和树突分支位置不同而变化,可用数学方法精确描述。这些描述所采用的树突神经元模型的概念建立在 Hodgkin 和 Huxley 工作^[12]的基础上,因此分析 PSP 波形对迭加的影响实际上可追溯到膜电位的离子事件。随着突触至胞体的电紧张距离增加,i) PSP 峰振幅减小,ii) PSP 有效作用时间延长,iii) PSP 从突触处传递至胞体所需的时间搁延增大。显然,PSP 峰振幅减小将使相同 PSP 数目的迭加电位不能达到阈值,只有迭加数更大才能达到阈值,因此使输出频率下降。另一方面,有效作用时间 t_0 增宽使相应的 m 值变大, f_{out} 也随之增高。可见,在远距离突触传递中,PSP 尽管对某一个动作电位的贡献可以很小,对神经元输出频率的影响却不能忽略。理论上,PSP 传递时间搁延不改变迭加几率和输出频率。

2. 多来源输入的神经元频率转换的理论意义

神经元输出频率在输入条件变化时能够保持恒定,具有所谓“抽象”性质(见“结果可分析”)。中枢神经系统中,神经元往往接受大量突触输入,如 α 运动神经元,突触数达 20,000—50,000 个^[13],皮质神经元平均也有 15,000—30,000 个突触^[14]。有理由设想,这些神经元均具有“抽象”作用。应用拓扑学方法可以证明^[15],在多个神经元组成的网络中,如果各级神经元的输入都有多个,那么这种“抽象”的程度更高,范围更大。神经元网络对那些输入频率变化产生“抽象”作用不仅取决于各输入通道的频率间关系,还取决于:i) 突触位置,ii) 突触效能,iii) 各神经元产生动作电位输出的阈值。这些

与神经元网络的结构和功能是分不开的,后者决定了神经元网络输出频率的“恒定”与输入频率的“变化”之间的具体参数关系。为了便于描述具有这种“抽象”性质的结构特征,可简称为“恒变结构”。“恒变结构”理论有助于理解和分析高级神经功能,包括感知、认识、学习记忆及条件反射等,在哲学上则可视为“共性”与“个性”的关系^[16]。

参 考 文 献

- [1] Christenson, B. et al.: In "Information Processing in the Nervous System" (ed. by H. M. Pinsker and W. D. Willis, Jr.) pp. 339—359, 1980.
- [2] Ottoson, D.: In "Physiology of the Nervous System", Macmillan Press, Hong Kong, pp. 185—195, 1983.
- [3] Rall, W.: In "Neural Theory and Modelling" (ed. by R. F. Reiss), Stanford Univ., Calif., pp. 73—97, 1964.
- [4] Rinzel, J. and W. Rall: *Biophys. J.*, 14: 759—790, 1974.
- [5] Jack, J. J. B. et al.: *J. Physiol.*, 215: 321—352, 1971.
- [6] Jenik, F. and H. Hoehne: *Kybernetik*, 3: 109—128, 1966.
- [7] Jenik, F.: In "Neural Theory and Modelling" (ed. by R. F. Reiss), Stanford Univ., Calif., pp. 190—212, 1964.
- [8] Granit, R. et al.: *J. Physiol.*, 187: 379—399, 1966.
- [9] Kornell, D.: *Acta Physiol. Scand.*, 65: 74—86, 1965.
- [10] Barrett, J. N. and W. E. Crill: *J. Physiol.*, 239: 325—345, 1974.
- [11] Christenson, B. N. and W. P. Teubel: *J. Physiol.*, 297: 319—333, 1979.
- [12] Hodgkin, A. L. and A. F. Huxley: *J. Physiol.*, 117: 500—544, 1952.
- [13] Barrett, J. N.: *Fed. Proc.*, 34: 1398—1407, 1975.
- [14] Colonnier, M.: In "The Organization of the Cerebral Cortex" (ed. by F. O. Schmitt), pp. 125—152, 1981.
- [15] 曹扬: 神经元信息“抽象”作用的拓扑学描述及其心理学意义(未发表), 1984。
- [16] 曹扬: 《医学与哲学》, 6:12—14, 1983。

[本文于1984年3月12日收到]